

医药与日化原料

含噻吩并[3,2-d]嘧啶的查尔酮类化合物的合成及其抗增殖活性

黄 婷^{1,2}, 孙安霞¹, 崔益铭¹, 张浩阳¹

(1. 安康学院 化学化工学院, 陕西 安康 725000; 2. 陕西省富硒食品质量监督检验中心, 陕西 安康 725000)

摘要: 运用药物分子片段原理及拼合原理, 设计并以 70.1%~83.9% 的收率合成了 10 个含噻吩并[3,2-d]嘧啶的查尔酮类衍生物, 并对该类化合物的体外抗肿瘤细胞增殖活性进行初步研究。通过 ¹H NMR、¹³C NMR 和 HRMS (ESI) 确证了目标化合物的结构。以人肺腺癌细胞株 A549、人肝癌细胞株 HepG2 和人前列腺癌细胞株 PC-3 3 种肿瘤细胞为测试细胞株, 采用四甲基偶氮唑盐 (MTT) 法评价了目标化合物的抗增殖活性。结果表明, 10 个化合物对 3 种肿瘤细胞株均具有很好的抑制活性。其中, 3-{4-[4-(2-氯噻吩并[3,2-d]嘧啶-4-基)哌嗪-1-羰基]苯基}-1-(3,4-二甲氧基苯基)丙基-2-烯-1-酮 (VIIh) 活性突出, 对 A549、HepG2 和 PC-3 3 种肿瘤细胞株的半抑制浓度 (IC_{50}) 分别为 (0.87 ± 0.05) 、 (2.43 ± 0.16) 和 (2.02 ± 0.10) $\mu\text{mol/L}$, 优于阳性对照药索拉非尼。

关键词: 药物分子设计; 查尔酮; 噻吩并[3,2-d]嘧啶; 合成; 抗增殖活性; 医药与日化原料

中图分类号: R914.5 文献标识码: A 文章编号: 1003-5214 (2024) 02-0427-06

Synthesis and antiproliferative activity of chalcone derivatives bearing thieno[3,2-d]pyrimidine moiety

HUANG Ting^{1,2}, SUN Anxia¹, CUI Yiming¹, ZHANG Haoyang¹

(1. School of Chemistry and Chemical Engineering, Ankang University, Ankang 725000, Shaanxi, China; 2. Quality Supervision and Inspection Centre of Se-enriched Food of Shaanxi Province, Ankang 725000, Shaanxi, China)

Abstract: Ten chalcone derivatives bearing thieno[3,2-d]pyrimidine moiety with yield ranging from 70.1%~83.9% were successfully designed and synthesized based on the principle of drug molecular fragment and splicing, with their structures confirmed by ¹H NMR, ¹³C NMR and HRMS (ESI). The compounds were further evaluated for their *in vitro* antitumor activity via methylthiazotetrazolium (MTT) assay using human lung adenocarcinoma (A549) cell lines, human liver cancer (HepG2) cell lines and human prostate cancer (PC-3) cell lines as model lines. The results showed that all target compounds showed excellent antiproliferative activities against all tested cancer cell lines. Among them, 3-{4-[4-(2-chlorothieno[3,2-d]pyrimidin-4-yl)piperazine-1-carbonyl]phenyl}-1-(3,4-dimethoxyphenyl)propyl-2-ene-1-one exhibited remarkable inhibitory activity against A549, HepG2 and PC-3 cell lines with half maximal inhibitory concentration (IC_{50}) of (0.87 ± 0.05) , (2.43 ± 0.16) and (2.02 ± 0.10) $\mu\text{mol/L}$, respectively, which were more potent than the positive control sorafenib.

Key words: drug molecular design; chalcone; thieno[3,2-d]pyrimidine; synthesis; antiproliferative activity; drug and cosmetic materials

收稿日期: 2023-03-06; 定用日期: 2023-05-08; DOI: 10.13550/j.jxhg.20230167

基金项目: 陕西省创新型人才支持计划项目 (陕人 64015 号); 陕西省研究生教育教学改革重点课题 (陕教合 18019); 陕西省重点实验室项目 (19JS003); 陕西省青年创新团队项目 (21JP002); 安康市秦创原“科学家+工程师”队伍建设项目 (2022AKKXJ-03); 国家级大学生创新创业项目 (202211397023); 陕西省富硒食品质量监督检验中心研究成果 (2023AYPT05)

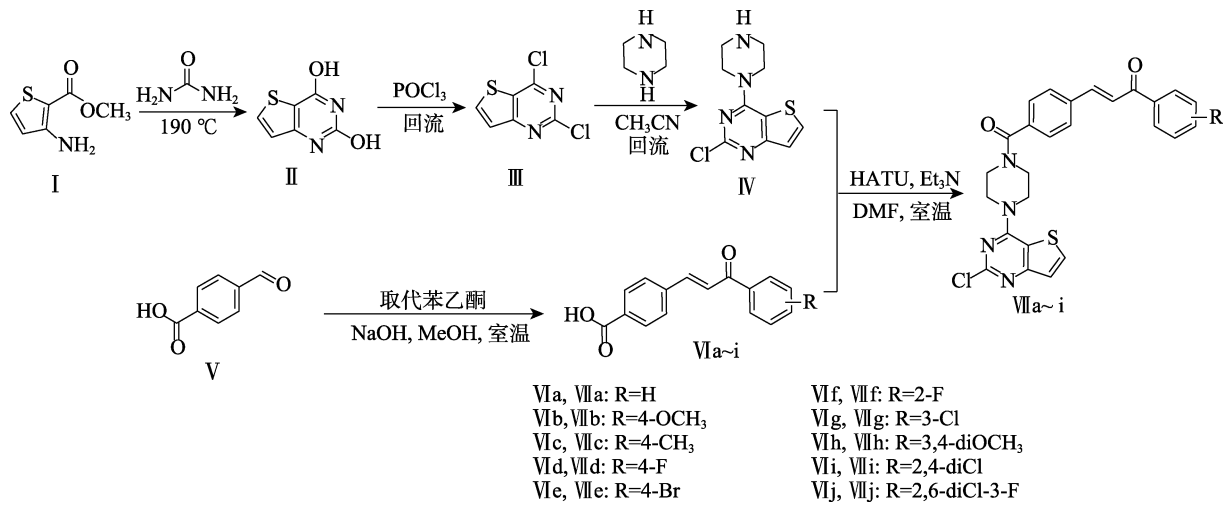
作者简介: 黄 婷 (1983—), 女, 副教授, E-mail: tingyu2008jh@126.com。

癌症又称为恶性肿瘤，是严重危害人类健康的常见病和多发病，癌症的发病率和致死率都在呈逐年增长趋势。2020 年全球新增癌症病例约 1930 万，并且有将近 1000 万人因患癌症而死亡^[1]。尽管科学家们已经开发出多种药物用于癌症的治疗，但是这些药物对于患者而言，依旧存在治疗窗狭窄、毒副作用较大、易产生耐药和治疗费用昂贵等缺点^[2]。因此，开发新型、高效、低毒的抗癌药是药物化学家面临的一项紧迫而富有挑战性的任务^[3]。

查尔酮的化学基本结构单元为 1,3-二苯基丙烯酮，为二芳基取代的 α, β -不饱和酮化合物。该类分子结构同时具有亲电性、亲脂性等特点，并且整个分子具有一定的柔性，可以与多种受体结合^[4]。查尔酮类化合物具有抗肿瘤^[5]、抗炎^[6]、抗菌^[7]、抗抑郁^[8]等广泛的药理活性。查尔酮衍生物的抗肿瘤活性一直备受关注，其对多种恶性肿瘤具有抑制增殖、诱导凋亡、调节自噬等作用^[9-11]。近几十年来，噻吩并嘧啶衍生物因其具有广泛的生物活性引起了药物化

学家的极大关注，具有噻吩并嘧啶结构的化合物常常具有抗肿瘤、抗菌和抗炎等活性^[12-14]。在抗肿瘤领域，具有噻吩并[3,2-*d*]嘧啶结构的化合物对多种蛋白酪氨酸激酶（PTKs）具有抑制作用^[15]，其中一些噻吩并[3,2-*d*]嘧啶类化合物已经作为抗肿瘤药物上市应用或正在进行临床/临床前研究，如 Olmutinib、Pictilisib、SNS-314、PF-03758309 和 Fimepinostat^[16]。

文献调研发现，含噻吩并[3,2-*d*]嘧啶结构的化合物和含查尔酮结构的化合物均具有良好的抗肿瘤活性，但文献中尚未有关于噻吩并[3,2-*d*]嘧啶-查尔酮衍生物的抗肿瘤活性研究报道。本文利用活性基团拼接原理，将查尔酮和噻吩并[3,2-*d*]嘧啶结构拼接到一个分子中，设计并合成了一系列含噻吩并[3,2-*d*]嘧啶的查尔酮类化合物（结构如下所示）。并采用 MTT 法测试了目标化合物体外对人肿瘤细胞株 A549、HepG2 和 PC-3 细胞的抗增殖活性。以期发现新型、高效的抗肿瘤化合物，为抗肿瘤药物的研究提供理论参考。



1 实验部分

1.1 试剂与仪器

3-氨基噻吩-2-羧酸甲酯、脲、无水哌嗪、4-甲酰基苯甲酸、苯乙酮、4-甲氧基苯乙酮、4-甲基苯乙酮、4-氟苯乙酮、4-溴苯乙酮、2-氟苯乙酮、3-氯苯乙酮、3,4-二甲氧基苯乙酮、2,4-二氯苯乙酮、2,6-二氯-3-氟苯乙酮、三氯氧磷、2-(7-氮杂苯并三氮唑)-*N,N,N',N'*-四甲基脲六氟磷酸酯，AR，上海毕得医药有限公司；GF254 薄层色谱硅胶板和柱层析硅胶，青岛海洋化工有限公司；其余所用试剂均为市售分析纯，没有特殊说明均未进行处理。

AVANCE NEO 600 MHz 核磁共振波谱仪，德国 Bruker 公司；Q-ToF Micro 高分辨四极杆飞行时间串联质谱仪，美国 Waters-Micromass 公司；X-4

型显微熔点仪，北京泰克仪器有限公司；HERAcell 150i CO₂ 培养箱，德国 Thermo 公司；Sunrise 全波长酶标仪，帝肯(上海)有限公司；CKX41 荧光显微镜，日本 Olympus 公司。

1.2 方法

1.2.1 2,4-二羟基噻吩并[3,2-*d*]嘧啶(II)的合成

将 3-氨基噻吩-2-羧酸甲酯（I）10.00 g (63.62 mmol) 和脲 19.10 g (318.09 mmol) 加入到 250 mL 反应瓶中，充分混匀。将上述混合物加热到 190 °C 搅拌反应 3 h。将反应混合物自然放置降温至 120 °C，加入质量分数为 20% NaOH 溶液 60 mL，剧烈搅拌 0.5 h。过滤除去不溶物，滤液用 2 mol/L 的 HCl 溶液调节 pH 至 3.0 左右，析出大量白色固体，抽滤，滤饼用去离子水洗涤至近中性。滤饼于 50 °C 减压干燥 24 h，得灰白色固体 9.80 g，收率 91.6%，

m. p. 102~104 °C (文献^[17]值: 101~103 °C); MS (ESI), *m/z*: C₆H₄N₂O₂S[M+H]⁺实测值(理论值): 169.10 (168.00)。

1.2.2 2,4-二氯噻吩并[3,2-d]嘧啶(Ⅲ)的合成

取化合物Ⅱ9.62 g (57.20 mmol), 在搅拌下缓慢加入到70 mL三氯氧磷中, 升温至回流反应12 h, 自然降至室温, 反应混合物缓慢加入到搅拌的冰水中, 析出大量固体, 过滤, 滤饼水洗至中性, 滤饼于50 °C减压干燥24 h后得灰白色固体9.23 g, 产率78.7%, m. p. 137~139 °C (文献^[18]值: 138.8~139.3 °C); MS (ESI), *m/z*: [M+H]⁺实测值(理论值): 205.10 (203.93)。

1.2.3 2-氯-4-(1-哌嗪基)噻吩并[3,2-d]嘧啶(Ⅳ)的合成

将化合物Ⅲ9.00 g (43.89 mmol)和无水哌嗪26.46 g (307.23 mmol)加入到150 mL乙腈中, 升温至回流反应8 h。反应完毕, 减压蒸发除去溶剂, 残余物加入100 mL二氯甲烷和1500 mL水进行萃取, 分离有机层, 水层再用(2×100 mL)二氯甲烷萃取, 合并有机层。有机层经过多次水洗至中性, 无水硫酸钠干燥, 过滤, 滤液减压蒸发除去溶剂得粗产物。粗产物经硅胶柱层析分离[V(二氯甲烷): V(甲醇)=10:1]得微黄色固体7.46 g, 产率66.7%; ¹HNMR (600 MHz, DMSO-*d*₆), δ: 8.32 (d, *J*=5.5 Hz, 1H), 7.41 (d, *J*=5.6 Hz, 1H), 3.68 (m, 4H), 3.43 (m, 4H), 1.29 (br, 1H); MS (ESI), *m/z*: [M+H]⁺实测值(理论值)为255.10 (254.05), [M+Na]⁺实测值(理论值)为277.10 (277.03)。

1.2.4 4-(3-氧化-3-取代苯基丙烯基)苯甲酸类化合物(Ⅵ)的合成

取4-甲酰基苯甲酸(V)1.50 g (10.00 mmol)和苯乙酮及其衍生物10.50 mmol加入到80 mL甲醇中, 搅拌溶解后向该溶液中再缓慢加入1.0 mol/L的NaOH溶液20 mL, 室温反应12 h, 反应完毕。将反应液倒入50 mL水中, 用1.0 mol/L HCl调节pH为3.0左右, 溶液中析出大量固体, 过滤, 滤饼水洗至洗出液近中性, 于50 °C减压干燥24 h, 得白色固体Ⅵa~j^[19~21]。

1.2.5 3-{4-[4-(2-氯噻吩并[3,2-d]嘧啶-4-基)哌嗪-1-羰基]苯基}-1-取代苯基丙基-2-烯-1-酮类化合物(Ⅶ)的合成

分别将化合物Ⅳ0.31 g (1.50 mmol)、Ⅵa~j (1.80 mmol)、2-(7-氮杂苯并三氮唑)-*N,N,N',N'*-四甲基脲六氟磷酸酯(HATU)0.80 g (2.10 mmol)和三乙胺(TEA)0.20 g (3.00 mmol)加入10 mL *N,N*-二甲基甲酰胺(DMF)中, 室温搅拌反应12 h。将反应液倒入质量分数为20%的碳酸钠溶液(50 mL)中, 加入二氯甲烷萃取3次, 每次30 mL, 合并有机相, 有机相用质量分数20%的碳酸钠溶液洗涤3次, 每

次30 mL, 然后有机相再用饱和食盐水洗涤3次, 每次50 mL, 无水硫酸钠干燥有机相, 过滤, 减压蒸发除去溶剂, 得粗产物, 粗产物经甲醇重结晶过滤后, 于50 °C减压干燥24 h, 得淡黄色固体, 即为目标化合物Ⅶa~j。

3-{4-[4-(2-氯噻吩并[3,2-d]嘧啶-4-基)哌嗪-1-羰基]苯基}-1-苯基丙基-2-烯-1-酮(Ⅶa): 淡黄色固体, 收率73.5%, m. p. 193~195 °C; ¹HNMR (600 MHz, DMSO-*d*₆), δ: 8.34 (d, *J*=5.5 Hz, 1H, 噻吩-H), 8.20 (m, 2H, 苯环-H), 8.05 (d, *J*=15.6 Hz, 1H, 查尔酮-H), 8.02 (d, *J*=8.2 Hz, 2H, 苯环-H), 7.80 (d, *J*=15.6 Hz, 1H, 查尔酮-H), 7.70 (t, *J*=7.4 Hz, 1H, 苯环-H), 7.59 (m, 4H, 苯环-H), 7.43 (d, *J*=5.5 Hz, 1H, 噻吩-H), 4.05 (br, 4H, 哌嗪-H), 3.84 (br, 2H, 哌嗪-H), 3.61 (br, 2H, 哌嗪-H); ¹³CNMR (150 MHz, DMSO-*d*₆), δ: 189.61, 169.20, 163.12, 158.58, 156.38, 143.48, 137.90, 137.72, 136.43, 136.17, 133.81, 129.43, 129.34, 129.09, 128.21, 124.21, 123.67, 113.24, 48.85, 47.57; HRMS (ESI), *m/z*: C₂₆H₂₂ClN₄O₂S[M+H]⁺理论值489.1152, 实测值489.1150。

3-{4-[4-(2-氯噻吩并[3,2-d]嘧啶-4-基)哌嗪-1-羰基]苯基}-1-(4-甲氧基苯基)丙基-2-烯-1-酮(Ⅶb): 淡黄色固体, 收率71.9%, m. p. 212~214 °C; ¹HNMR (600 MHz, DMSO-*d*₆), δ: 8.34 (d, *J*=5.5 Hz, 1H, 噻吩-H), 8.21 (d, *J*=8.9 Hz, 2H, 苯环-H), 8.05 (d, *J*=15.6 Hz, 1H, 查尔酮-H), 8.01 (d, *J*=8.2 Hz, 2H, 苯环-H), 7.76 (d, *J*=15.6 Hz, 1H, 查尔酮-H), 7.56 (d, *J*=8.2 Hz, 2H, 苯环-H), 7.43 (d, *J*=5.5 Hz, 1H, 噻吩-H), 7.11 (d, *J*=8.9 Hz, 2H, 苯环-H), 4.06 (m, 4H, 哌嗪-H), 3.84 (m, 5H, 哌嗪-H, —OCH₃), 3.61 (br, 2H, 哌嗪-H); ¹³CNMR (150 MHz, DMSO-*d*₆), δ: 187.76, 169.23, 163.83, 163.11, 158.58, 156.38, 142.61, 137.50, 136.61, 136.16, 131.52, 130.80, 129.30, 128.19, 124.20, 123.67, 114.56, 113.23, 56.09, 46.86, 45.46; HRMS (ESI), *m/z*: C₂₇H₂₄ClN₄O₃S[M+H]⁺理论值519.1258, 实测值519.1255。

3-{4-[4-(2-氯噻吩并[3,2-d]嘧啶-4-基)哌嗪-1-羰基]苯基}-1-(4-甲基苯基)丙基-2-烯-1-酮(Ⅶc): 淡黄色固体, 收率70.1%, m. p. 188~191 °C; ¹HNMR (600 MHz, DMSO-*d*₆), δ: 8.33 (d, *J*=5.5 Hz, 1H, 噻吩-H), 8.11 (d, *J*=8.2 Hz, 2H, 苯环-H), 8.04 (d, *J*=15.6 Hz, 1H, 查尔酮-H), 8.01 (d, *J*=8.2 Hz, 2H, 苯环-H), 7.78 (d, *J*=15.6 Hz, 1H, 查尔酮-H), 7.56 (d, *J*=8.2 Hz, 2H, 苯环-H), 7.40 (m, 3H, 噻吩-H, 苯环-H), 4.06 (m, 4H, 哌嗪-H), 3.84 (br, 2H, 哌嗪-H), 3.61 (br, 2H, 哌嗪-H), 2.42 (s, 3H, —CH₃); ¹³CNMR (150 MHz, DMSO-*d*₆), δ: 189.00, 169.21, 163.11, 158.57, 156.38, 144.27, 143.10, 137.61, 136.50,

136.15, 135.40, 129.89, 129.37, 129.24, 128.19, 124.20, 123.68, 113.23, 46.94, 45.35, 21.70; HRMS (ESI), *m/Z*: C₂₇H₂₄ClN₄O₂S[M+H]⁺理论值 503.1308, 实测值 503.1305。

3-{4-[4-(2-氯噻吩并[3,2-*d*]嘧啶-4-基)哌嗪-1-羰基]苯基}-1-(4-氟苯基)丙基-2-烯-1-酮(VII d): 淡黄色固体, 收率 75.2%, m. p. 185~187 °C; ¹HNMR (600 MHz, DMSO-*d*₆), δ: 8.34 (d, *J*=5.5 Hz, 1H, 噻吩-H), 8.28 (m, 2H, 苯环-H), 8.07 (d, *J*=15.6 Hz, 1H, 查尔酮-H), 8.02 (d, *J*=8.2 Hz, 2H, 苯环-H), 7.81 (d, *J*=15.6 Hz, 1H, 查尔酮-H), 7.57 (d, *J*=8.2 Hz, 2H, 苯环-H), 7.44 (m, 3H, 噻吩-H, 苯环-H), 4.05 (m, 4H, 哌嗪-H), 3.84 (br, 2H, 哌嗪-H), 3.61 (br, 2H, 哌嗪-H); ¹³CNMR (150 MHz, DMSO-*d*₆), δ: 188.13, 169.19, 165.63 (d, *J*=252.3 Hz), 163.11, 158.58, 156.38, 143.65, 137.76, 136.39, 136.17, 134.61, 132.13 (d, *J*=9.3 Hz), 129.47, 128.20, 124.21, 123.42, 116.36 (d, *J*=21.8 Hz), 113.23, 52.47, 46.17; HRMS (ESI), *m/Z*: C₂₆H₂₁ClFN₄O₂S[M+H]⁺理论值 507.1058, 实测值 507.1056。

3-{4-[4-(2-氯噻吩并[3,2-*d*]嘧啶-4-基)哌嗪-1-羰基]苯基}-1-(4-溴苯基)丙基-2-烯-1-酮(VII e): 淡黄色固体, 收率 80.3%, m. p. 200~201 °C; ¹HNMR (600 MHz, DMSO-*d*₆), δ: 8.33 (d, *J*=5.5 Hz, 1H, 噻吩-H), 8.14 (d, *J*=8.5 Hz, 2H, 苯环-H), 8.03 (m, 3H, 查尔酮-H, 苯环-H), 7.82 (m, 3H, 查尔酮-H, 苯环-H), 7.57 (d, *J*=8.1 Hz, 2H, 苯环-H), 7.43 (d, *J*=5.5 Hz, 1H, 噻吩-H), 4.07 (m, 4H, 哌嗪-H), 3.84 (br, 2H, 哌嗪-H), 3.61 (br, 2H, 哌嗪-H); ¹³CNMR (150 MHz, DMSO-*d*₆), δ: 188.75, 169.18, 163.11, 158.57, 156.38, 143.98, 137.83, 136.87, 136.33, 136.16, 132.39, 131.12, 129.52, 128.20, 127.99, 124.20, 123.31, 113.23, 46.96, 45.36; HRMS (ESI), *m/Z*: C₂₆H₂₁BrClN₄O₂S[M+H]⁺理论值 567.0257, 实测值 567.0254。

3-{4-[4-(2-氯噻吩并[3,2-*d*]嘧啶-4-基)哌嗪-1-羰基]苯基}-1-(2-氟苯基)丙基-2-烯-1-酮(VII f): 淡黄色固体, 收率 72.8%, m. p. 168~170 °C; ¹HNMR (600 MHz, DMSO-*d*₆), δ: 8.33 (d, *J*=5.5 Hz, 1H, 噻吩-H), 7.92 (d, *J*=8.2 Hz, 2H, 苯环-H), 7.82 (d, *J*=15.6 Hz, 1H, 查尔酮-H), 7.70 (m, 2H, 查尔酮-H, 苯环-H), 7.57 (m, 3H, 苯环-H), 7.40 (m, 3H, 噻吩-H, 苯环-H), 4.04 (m, 4H, 哌嗪-H), 3.83 (br, 2H, 哌嗪-H), 3.60 (br, 2H, 哌嗪-H); ¹³CNMR (150 MHz, DMSO-*d*₆), δ: 189.33, 169.10, 163.11, 160.78 (d, *J*=251.9 Hz), 156.37, 143.99, 137.96, 136.08 (d, *J*=22.8 Hz), 134.93, 131.08, 129.35, 128.30, 127.22 (d, *J*=13.0 Hz), 127.09, 125.41, 124.20, 117.18 (d, *J*=22.2 Hz), 113.22, 47.55, 45.38; HRMS (ESI), *m/Z*: C₂₆H₂₁ClFN₄O₂S[M+H]⁺理论值 507.1058, 实测值 507.1060。

3-{4-[4-(2-氯噻吩并[3,2-*d*]嘧啶-4-基)哌嗪-1-羰基]苯基}-1-(3-氯苯基)丙基-2-烯-1-酮(VII g): 淡黄色固体, 收率 81.4%, m. p. 178~180 °C; ¹HNMR (600 MHz, DMSO-*d*₆), δ: 8.34 (d, *J*=5.5 Hz, 1H, 噻吩-H), 8.25 (t, *J*=1.8 Hz, 1H, 苯环-H), 8.15 (d, *J*=7.8 Hz, 1H, 苯环-H), 8.06 (m, 3H, 查尔酮-H, 苯环-H), 7.84 (d, *J*=15.6 Hz, 1H, 查尔酮-H), 7.77 (m, 1H, 苯环-H), 7.63 (t, *J*=7.9 Hz, 1H, 苯环-H), 7.57 (d, *J*=8.2 Hz, 2H, 苯环-H), 7.43 (d, *J*=5.5 Hz, 1H, 噻吩-H), 4.05 (m, 4H, 哌嗪-H), 3.84 (br, 2H, 哌嗪-H), 3.61 (br, 2H, 哌嗪-H); ¹³CNMR (150 MHz, DMSO-*d*₆), δ: 193.12, 173.92, 167.86, 163.32, 161.13, 149.03, 144.46, 142.65, 141.05, 139.11, 138.26, 136.06, 134.44, 132.92, 129.01, 128.90, 128.03, 127.91, 117.98, 50.08, 46.60; HRMS (ESI), *m/Z*: C₂₆H₂₁Cl₂N₄O₂S[M+H]⁺理论值 523.0762, 实测值 523.0760。

3-{4-[4-(2-氯噻吩并[3,2-*d*]嘧啶-4-基)哌嗪-1-羰基]苯基}-1-(3,4-二甲氧基苯基)丙基-2-烯-1-酮(VII h): 淡黄色固体, 收率 77.2%, m. p. 175~177 °C; ¹HNMR (600 MHz, DMSO-*d*₆), δ: 8.34 (d, *J*=5.5 Hz, 1H, 噻吩-H), 8.06 (d, *J*=15.6 Hz, 1H, 查尔酮-H), 8.02 (d, *J*=8.2 Hz, 2H, 苯环-H), 7.96 (dd, *J*=8.5、1.9 Hz, 1H, 苯环-H), 7.76 (d, *J*=15.6 Hz, 1H, 查尔酮-H), 7.63 (d, *J*=1.9 Hz, 1H, 苯环-H), 7.56 (d, *J*=8.2 Hz, 2H, 苯环-H), 7.43 (d, *J*=5.5 Hz, 1H, 噻吩-H), 7.13 (d, *J*=8.5 Hz, 1H, 苯环-H), 4.05 (m, 4H, 哌嗪-H), 3.89 (s, 3H, —OCH₃), 3.87 (s, 3H, —OCH₃), 3.86~3.74 (m, 2H, 哌嗪-H), 3.61 (br, 2H, 哌嗪-H); ¹³CNMR (150 MHz, DMSO-*d*₆), δ: 192.50, 173.99, 167.87, 163.34, 161.13, 158.59, 154.06, 142.26, 141.37, 135.59, 134.14, 132.98, 128.41, 124.53, 121.35, 117.99, 117.99, 116.17, 61.05, 60.84, 51.63, 46.62; HRMS (ESI), *m/Z*: C₂₈H₂₆ClN₄O₄S[M+H]⁺理论值 549.1363, 实测值 549.1365。

3-{4-[4-(2-氯噻吩并[3,2-*d*]嘧啶-4-基)哌嗪-1-羰基]苯基}-1-(2,4-二氯苯基)丙基-2-烯-1-酮(VII i): 淡黄色固体, 收率 83.9%, m. p. 176~179 °C; ¹HNMR (600 MHz, DMSO-*d*₆), δ: 8.47 (d, *J*=2.0 Hz, 1H, 苯环-H), 8.34 (d, *J*=5.5 Hz, 1H, 噻吩-H), 8.15 (dd, *J*=8.4、2.1 Hz, 1H, 苯环-H), 8.09 (d, *J*=15.6 Hz, 1H, 查尔酮-H), 8.05 (d, *J*=8.2 Hz, 2H, 苯环-H), 7.87 (m, 2H, 查尔酮-H, 苯环-H), 7.57 (d, *J*=8.2 Hz, 2H, 苯环-H), 7.43 (d, *J*=5.5 Hz, 1H, 噻吩-H), 4.05 (m, 4H, 哌嗪-H), 3.84 (br, 2H, 哌嗪-H), 3.61 (br, 2H, 哌嗪-H); ¹³CNMR (150 MHz, DMSO-*d*₆), δ: 187.53, 169.14, 163.12, 158.58, 156.38, 145.54, 144.60, 138.03, 137.99, 136.65, 136.24, 136.18, 132.47, 131.70, 131.01, 129.70,

129.10, 128.18, 124.21, 123.03, 113.12, 50.39, 46.15; HRMS (ESI), *m/Z*: C₂₆H₂₀Cl₃N₄O₂S[M+H]⁺理论值 557.0373, 实测值 557.0371。

3-{4-[4-(2-氯噻吩并[3,2-d]嘧啶-4-基)哌嗪-1-羰基]苯基}-1-(2,6-二氯-3-氟苯基)丙基-2-烯-1-酮(VIIj): 淡黄色固体, 收率 78.8%, *m.p.* 230~231 °C; ¹HNMR (600 MHz, DMSO-*d*₆), δ : 8.33 (d, *J*=5.5 Hz, 1H, 噻吩-H), 7.92 (d, *J*=8.2 Hz, 2H, 苯环-H), 7.68 (m, 2H, 查尔酮-H, 苯环-H), 7.52 (m, 3H, 查尔酮-H, 苯环-H), 7.42 (d, *J*=5.5 Hz, 1H, 噻吩-H), 7.29 (d, *J*=16.4 Hz, 1H, 苯环-H), 4.05 (m, 4H, 哌嗪-H), 3.82 (br, 2H, 哌嗪-H), 3.57 (br, 2H, 哌嗪-H); ¹³CNMR (150 MHz, DMSO-*d*₆), δ : 191.76, 168.99, 163.11, 157.01 (d, *J*=249.3 Hz), 158.56, 156.37, 148.44, 139.29, 138.63, 136.13, 135.42, 130.69 (d, *J*=7.4 Hz), 129.78, 128.24, 127.24, 126.06, 124.19, 119.16 (d, *J*=22.9 Hz), 118.54 (d, *J*=20.7 Hz), 113.22, 46.79, 45.34; HRMS (ESI), *m/Z*: C₂₆H₁₉Cl₃FN₄O₂S[M+H]⁺理论值 575.0278, 实测值 575.0275。

1.3 MTT 法体外抗肿瘤活性测试

选取对数生长期的人肺腺癌细胞株 A549、人肝癌细胞株 HepG2 和人前列腺癌细胞株 PC-3 (中国科学院上海细胞库, 本实验室传代保存), 采用 MTT 法^[12,19]测试目标化合物体外抗肿瘤细胞增殖活性。将处于对数生长期的细胞以每孔 5×10³个接种于 96 孔板中, 放入 37 °C、饱和湿度、体积分数为 5% 的 CO₂ 培养箱中培养 24 h。次日, 吸弃上清液, 每孔加入 200 μL 不同浓度梯度的索拉非尼和目标化合物 VIIa~j。72 h 后, 向每个孔中加入 20 μL 质量浓度为 5 g/L 的 MTT, 继续在 37 °C 下培养 4 h, 吸弃上清液, 然后每孔加入 150 μL 二甲基亚砜 (DMSO), 置于摇床振荡混匀, 使 MTT 甲瓒结晶充分溶解。在酶标仪 (参考波长 630 nm, 检测波长 490 nm) 测定吸光度 (*A*), 计算目标化合物对肿瘤细胞的半抑制浓度 (IC₅₀)。

2 结果与讨论

2.1 目标化合物的合成及结构确证

目标化合物的合成路线中以 3-氨基噻吩-2-羧酸甲酯 (I) 为原料, 在 190 °C 下与脲发生环合反应, 得到 2,4-二羟基噻吩并[3,2-d]嘧啶 (II), 化合物 II 与三氯氧磷回流, 经氯代反应生成 2,4-二氯噻吩并[3,2-d]嘧啶 (III), 化合物 III 与无水哌嗪在回流的乙腈中发生取代反应得到 2-氯-4-(1-哌嗪基)噻吩并[3,2-d]嘧啶 (IV); 不同取代苯乙酮与 4-甲酰基苯甲酸 (V) 在 NaOH 催化下, 制备了系列中间体 4-(3-氧代-3-取代苯基丙烯基)苯甲酸 (VIa~j); 最后,

化合物 IV 分别与化合物 VIa~j 在 HATU、三乙胺催化下, 在 DMF 中经酰胺化反应, 制备了 10 个含噻吩并[3,2-d]嘧啶的查尔酮类目标化合物 VIIa~j。

化合物 VIIa~j 的结构经 ¹HNMR、¹³CNMR 和 HRMS (ESI) 确认。以 VIIa 为例, 在其 ¹HNMR 谱图中, 噻吩并[3,2-d]嘧啶母核上的 2 个 H 化学位移分别为 δ 8.34、7.43。哌嗪上的 4 个 H 化学位移分别为 δ 4.05、3.84、3.61。查尔酮结构的烯键上的 2 个 H 化学位移分别为 δ 8.05 和 7.80, 并且其耦合常数 *J*=15.6 Hz, 因其 *J*>15.00 Hz 表明该产物查尔酮部分烯烃的双键呈 *E* 式构型^[22]。除上述 H 的化学位移外, 其余为查尔酮部分苯环上氢的化学位移。在 ¹³CNMR 谱中可观察到, 噻吩并[3,2-d]嘧啶母核中的 6 个碳信号分别为 δ 163.12、158.58、156.38、136.17、124.21 和 113.24。其中, δ 163.12 和 158.58 为嘧啶 2 位和 4 位碳的化学位移。 δ 48.85 和 47.57 为哌嗪上碳的化学位移。查尔酮结构的酮羰基和酰胺羰基的化学位移为 δ 189.61 和 169.20。除上述碳的化学位移外, 其余为查尔酮部分苯环和烯键上碳的化学位移。在 MS 谱中, 观察到 *m/Z*=489.1150([M+H]⁺, 100%) 的峰值, 与 VIIa 的相对分子质量相符。根据上述 ¹HNMR、¹³CNMR 和 HRMS (ESI) 表征, 最终确证其结构为目标化合物 VIIa, 类似的其他化合物的结构也得到确证。

2.2 目标化合物的抗肿瘤活性

采用 MTT 法对所合成的 10 个含噻吩并[3,2-d]嘧啶的查尔酮类化合物体外对人肺腺癌细胞株 A549、人肝癌细胞株 HepG2 和人前列腺癌细胞株 PC-3 的抗增殖活性进行了测试, 结果见表 1。由表 1 可知, 该类化合物对 A549、HepG2 和 PC-3 肿瘤细胞株均显示出较好的体外抗增殖活性, 且化合物 VIIb 和 VIIh 抑制 A549 和 HepG2 肿瘤细胞的活性均优于阳性对照药索拉非尼, 化合物 VIIc 和 VIIh 抑制 PC-3 肿瘤细胞的活性均优于阳性对照药索拉非尼。化合物 VIIh 对 A549、HepG2 和 PC-3 肿瘤细胞株表现出相对较好的活性, IC₅₀ 分别为 (0.87±0.05)、(2.43±0.16) 和 (2.02±0.10) μmol/L, 均优于阳性对照药索拉非尼。以上结果表明, 将查尔酮和噻吩并[3,2-d]嘧啶结构拼接到一个分子中, 保持了较好的抗肿瘤活性。初步构效关系研究表明, 末端苯环上 R 取代基对目标化合物的活性有一定的影响: 当 R 为供电子基团 (如 4-甲基取代的化合物 VIIc 和 4-甲氧基取代的化合物 VIIb) 时, 有利于提高目标化合物的抗肿瘤活性, 当 R 为 3,4-二甲氧基时 (VIIh) 活性最好; 当 R 为吸电子基团时, 目标化合物的抗肿瘤活性降低 (如 4-溴取代的化合物 VIIe 和 3-氯取代的化合物 VIIg)。

表 1 目标化合物对 A549、HepG2 和 PC-3 肿瘤细胞株的抗增殖活性

Table 1 *In vitro* antiproliferative activities of target compounds against A549, HepG2 and PC-3 cell lines

化合物	R	IC ₅₀ /(μmol/L) ^①		
		A549	HepG2	PC-3
VIIa	H	4.39±0.12	6.11±0.33	5.44±0.38
VIIb	4-OCH ₃	2.16±0.15	3.21±0.14	4.78±0.29
VIIc	4-CH ₃	3.87±0.26	4.83±0.17	2.52±0.14
VId	4-F	4.12±0.11	8.16±0.69	16.83±0.57
VIE	4-Br	11.88±0.18	7.62±0.26	7.64±0.26
VIf	2-F	6.64±0.35	13.27±0.84	5.96±0.13
VIG	3-Cl	8.37±0.29	7.15±0.37	18.12±0.68
VIIh	3,4-diOCH ₃	0.87±0.05	2.43±0.16	2.02±0.10
VIIi	2,4-diCl	7.73±0.58	8.49±0.39	6.89±0.45
VIIj	2,6-diCl-3-F	7.28±0.42	23.51±0.80	9.95±0.30
索拉非尼 ^②	—	2.91±0.10	3.49±0.21	3.16±0.18

①每次实验重复 3 次；②阳性对照药。

3 结论

以 3-氨基噻吩-2-羧酸甲酯、脲、4-甲酰基苯甲酸和取代苯乙酮等为原料，经过环合、氯代、取代、缩合和酰胺化反应，制备了 10 个含噻吩并[3,2-d]嘧啶的查尔酮类目标化合物。目标化合物结构经¹HNMR、¹³CNMR 和 HRMS (ESI)进行确证。采用 MTT 法测试了目标化合物对人肺腺癌细胞株 A549、人肝癌细胞株 HepG2 和人前列腺癌细胞株 PC-3 的细胞增殖抑制活性。结果表明，大部分化合物对 3 种细胞株显示了较好的抗增殖活性，特别是化合物 VIIh 对 A549、HepG2 和 PC-3 肿瘤细胞株的 IC₅₀ 分别为(0.87±0.05)、(2.43±0.16)和(2.02±0.10) μmol/L，优于阳性对照药索拉非尼。含噻吩并[3,2-d]嘧啶的查尔酮类化合物具有很好的抗肿瘤活性，值得进一步研究。本文证实了含噻吩并[3,2-d]嘧啶的查尔酮衍生物具有一定的研究意义，可为以后开发新型抗肿瘤药物提供先导化合物。

参考文献：

- [1] DEO S V S, SHARMA J, KUMAR S. GLOBOCAN 2020 report on global cancer burden: Challenges and opportunities for surgical oncologists[J]. Annals of Surgical Oncology, 2022, 29(11): 6497-6500.
- [2] FENG Y Y (冯媛媛), SONG M Q (宋梦秋), WU W L (武文龙), et al. Synthesis and biological evaluation of 2-phenylthiazole derivatives as anticancer agents[J]. Chemical Research and Application (化学研究与应用), 2022, 34(6): 1362-1368.
- [3] BLACKADAR C B. Historical review of the causes of cancer[J]. World Journal of Clinical Oncology, 2016, 7(1): 54-86.
- [4] PARVEEN Z, BRUNHOFER G, JABEEN I, et al. Synthesis, biological evaluation and 3D-QSAR studies of new chalcone derivatives as inhibitors of human P-glycoprotein[J]. Bioorganic & Medicinal Chemistry, 2014, 22(7): 2311-2319.
- [5] YAN J, CHEN J, ZHANG S, et al. Synthesis, evaluation, and mechanism study of novel indole-chalcone derivatives exerting effective antitumor activity through microtubule destabilization *in vitro* and *in vivo*[J]. Journal of Medicinal Chemistry, 2016, 59(11): 5264-5283.
- [6] VIJAYA BHASKAR REDDY M, HUNG H Y, KUO P C, et al. Synthesis and biological evaluation of chalcone, dihydrochalcone, and 1,3-diarylpropane analogs as anti-inflammatory agents[J]. Bioorganic & Medicinal Chemistry Letters, 2017, 27(7): 1547-1550.
- [7] GOMES M N, BRAGA R C, GRZELAK E M, et al. QSAR-driven design, synthesis and discovery of potent chalcone derivatives with antitubercular activity[J]. European Journal of Medicinal Chemistry, 2017, 137: 126-138.
- [8] ZHAO D H, WANG Y C, ZHENG L W, et al. Antidepressant-like effect of a chalcone compound, DHIPC and its possible mechanism[J]. Iranian Journal of Pharmaceutical Research, 2018, 17(1): 193-201.
- [9] JIN J, QIU S, WANG P, et al. Cardamonin inhibits breast cancer growth by repressing HIF-1α-dependent metabolic reprogramming[J]. Journal of Experimental and Clinical Cancer Research, 2019, 38(1): 377-393.
- [10] PHANG C W, MELEK S N, KARSANI S A. Flavokawain C exhibits anti-tumor effects on *in vivo* HCT 116 xenograft and identification of its apoptosis-linked serum biomarkers *via* proteomic analysis[J]. Biomedicine & Pharmacotherapy, 2021, 137: 110846-110859.
- [11] DANDAWATE P, AHMED K, PADHYE S, et al. Anticancer active heterocyclic chalcones: Recent developments[J]. Anti-Cancer Agents in Medicinal Chemistry, 2021, 21(5): 558-566.
- [12] LIU Z, WU S, WANG Y, et al. Design, synthesis and biological evaluation of novel thieno[3,2-d]pyrimidine derivatives possessing diaryl semicarbazone scaffolds as potent antitumor agents[J]. European Journal of Medicinal Chemistry, 2014, 87: 782-793.
- [13] LIU B (刘波), GAO H (高慧), ZHANG M D (张梦丹), et al. Synthesis and antitumor activity of thieno[2,3-d]pyrimidine derivatives[J]. Fine Chemicals (精细化工), 2022, 39(12): 2534-2540.
- [14] HU H, DONG Y, LI M, et al. Design, synthesis and biological evaluation of novel thieno[3,2-d]pyrimidine and quinazoline derivatives as potent antitumor agents[J]. Bioorganic & Medicinal Chemistry, 2019, 90: 103086.
- [15] JIANG D H (蒋达洪), PENG J S (彭进松). Design and synthesis of 7-bromothieno[3,2-d]pyrimidine derivatives containing piperazine unit as anticancer agents[J]. Chemical Research and Application (化学研究与应用), 2012, 24(8): 1247-1250.
- [16] ALI E M H, ABDEL-MAKSoud M S, OH C H. Thieno[2,3-d]pyrimidine as a promising scaffold in medicinal chemistry: Recent advances[J]. Bioorganic & Medicinal Chemistry, 2019, 27(7): 1159-1194.
- [17] TIAN Q P, CHENG Z G, HERBERT M, et al. A practical synthesis of a PI3K inhibitor under noncryogenic conditions *via* functionalization of a lithium triarylmagnesiate intermediate[J]. Organic Process Research & Development, 2013, 17: 97-107.
- [18] BRAVO-ALTAMIRANO K, GEORGE K M, FRANTZ M C, et al. Synthesis and structure-activity relationships of benzothienothiazepine inhibitors of protein kinase D[J]. ACS Medicinal Chemistry Letters, 2011, 2(2): 154-159.
- [19] SHI J T, GONG Y L, LI J, et al. Synthesis, structure and biological activity of 2-[2-(4-fluorobenzylidene) hydrazinyl]-4-(1-methyl-1H-indol-3-yl)thieno[3,2-d]pyrimidine[J]. Chinese Journal of Structural Chemistry, 2019, 38(9): 1530-1536.
- [20] TAO X X, DUAN Y T, CHEN L W, et al. Design, synthesis and biological evaluation of pyrazolyl-nitroimidazole derivatives as potential EGFR/HER-2 kinase inhibitors[J]. Bioorganic & Medicinal Chemistry Letters, 2016, 26(2): 677-683.
- [21] DIMMOCK J R, JHA A, ZELLO G A, et al. Cytotoxic N-[4-(3-aryl-3-oxo-1-propenyl)phenylcarbonyl]-3,5-bis(phenylmethylene)-4-piperidones and related compounds[J]. European Journal of Medicinal Chemistry, 2002, 37(12): 961-972.
- [22] SHANKARAIAH N, NEKKANTI S, BRAHMA U R, et al. Synthesis of different heterocycles-linked chalcone conjugates as cytotoxic agents and tubulin polymerization inhibitors[J]. Bioorganic & Medicinal Chemistry, 2017, 25(17): 4805-4816.